

8. Anexos

8.1. Datos de abundancia relativa de FAD7 y FAD8 en tejido fotosintético y no fotosintético obtenidos mediante microscopía confocal

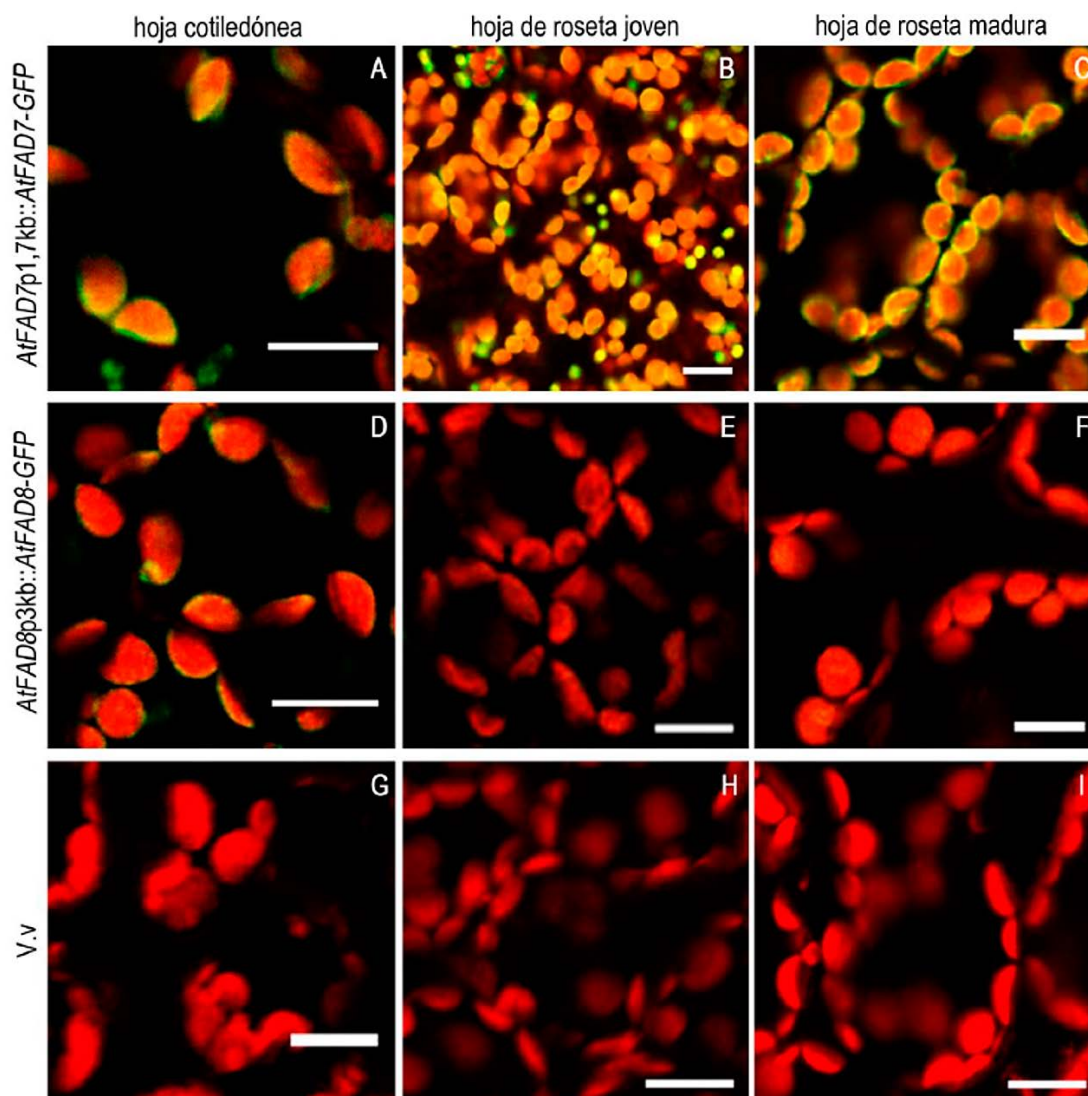


Figura 8.1. Abundancia relativa de *AtFAD7* y *AtFAD8* en hojas de plantas de 2 semanas de *A. thaliana*. Superposición de canales de fluorescencia correspondientes a plantas transformadas con *AtFAD7-GFP* (A-C), *AtFAD8-GFP* (D-F) y el vector vacío (G-I) en hojas cotiledóneas (A, D, G), hojas de roseta jóvenes (B, E, H) y hojas de roseta maduras (C, F, I). El canal de fluorescencia verde se corresponde con la señal emitida por la GFP y el canal de fluorescencia roja se corresponde con la señal emitida por la clorofila. Las barras se corresponden con 10 μ m. *Resultados obtenidos por Ángel Soria-García para su Tesis Doctoral (pendiente de publicación).*

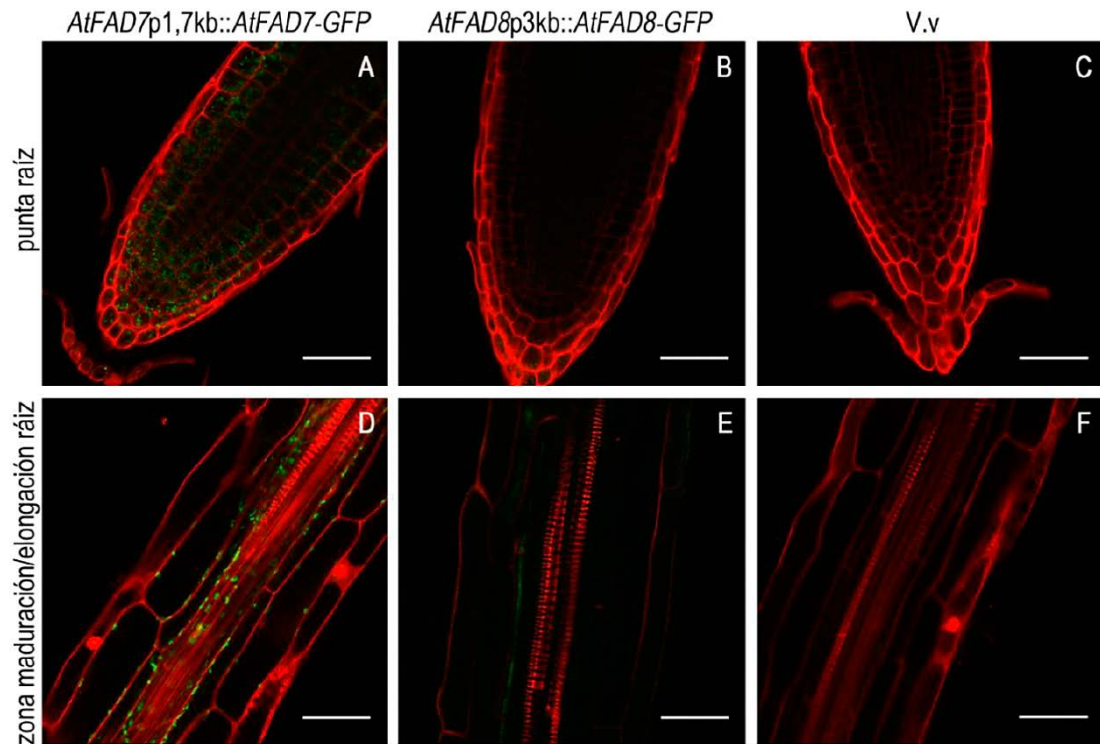


Figura 8.2. Abundancia relativa de *AtFAD7* y *AtFAD8* en raíces de plantas de 2 semanas de *A. thaliana*. Superposición de canales de fluorescencia correspondientes a plantas transformadas con *AtFAD7-GFP* (A, D), *AtFAD8-GFP* (B, E) y el vector vacío (C, F) en la punta de la raíz (A-C) y en la región de maduración/elongación de la raíz (D-F). El canal de fluorescencia verde se corresponde con la señal emitida por la GFP y el canal de fluorescencia roja se corresponde con la señal emitida por el yoduro de propidio. Las barras se corresponden con 100 μm . *Resultados obtenidos por Ángel Soria-García para su Tesis Doctoral (pendiente de publicación).*

8.2. Datos de abundancia relativa de FAD7 en respuesta al ácido abscísico obtenidos mediante microscopía confocal

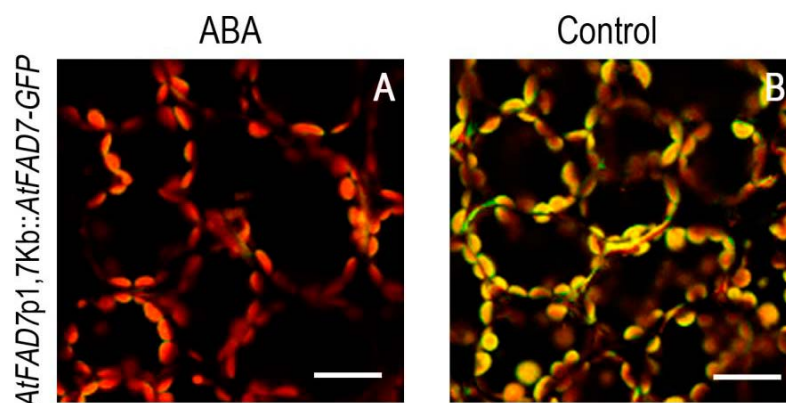


Figura 8.3. Abundancia relativa de *AtFAD7* en respuesta al ácido abscísico. Superposición de canales de fluorescencia correspondientes a plantas transformadas con *AtFAD7-GFP* tras 48 horas de exposición a ácido abscísico (A) y sin tratamiento hormonal (B). El canal de fluorescencia verde se corresponde con la señal emitida por la GFP y el canal de fluorescencia roja se corresponde con la señal emitida por la clorofila. Las barras se corresponden con 20 μm . *Resultados obtenidos por Ángel Soria-García para su Tesis Doctoral (pendiente de publicación).*

8.3. Datos de abundancia relativa de FAD8 en respuesta al frío obtenidos mediante microscopía confocal

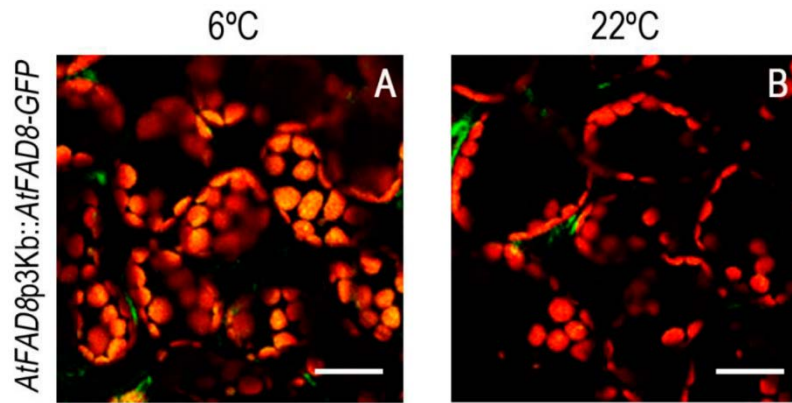


Figura 8.4. Abundancia relativa de AtFAD8 en respuesta al frío. Superposición de canales de fluorescencia correspondientes a plantas transformadas con *AtFAD8-GFP* crecidas a 6 °C (A) y a 22 °C (B) durante 1 semana. El canal de fluorescencia verde se corresponde con la señal emitida por la GFP y el canal de fluorescencia roja se corresponde con la señal emitida por la clorofila. Las barras se corresponden con 20 μm. *Resultados obtenidos por Ángel Soria-García para su Tesis Doctoral (pendiente de publicación).*